

**НАМАГНИЧЕННОСТЬ КЕРАМИКИ  $\text{YBa}_2\text{Cu}_3\text{O}_{7-x}$   
ПОСЛЕ ОБЛУЧЕНИЯ РЕЛЯТИВИСТСКИМИ  
ЯДРАМИ УГЛЕРОДА**

**И.Н.Гончаров, О.Е.Омельяновский \***

Проведены измерения  $R(T)$ ,  $\chi(T)$  и  $M(B)$  образцов керамики  $\text{YBa}_2\text{Cu}_3\text{O}_{7-x}$ , облученных релятивистскими ядрами фтора и углерода (максимальный флюенс  $6.3 \cdot 10^{12}$  яд./ $\text{cm}^2$ ). Кривые  $R(T)$  и  $\chi(T)$  облученных образцов не отличаются от кривых для исходного образца. В то же время разница между  $M_-$  и  $M_+$ , а следовательно, и величина внутризеренной плотности тока  $j_c$ , проходят через максимум, лежащий при флюенсах, меньших  $2 \cdot 10^{12}$  яд./ $\text{cm}^2$  (для случая, когда магнитное поле параллельно трекам).

Работа выполнена в Лаборатории высоких энергий ОИЯИ.

**Magnetization of  $\text{YBa}_2\text{Cu}_3\text{O}_{7-x}$  Ceramics after  
Irradiation with Carbon Relativistic Nuclei**

**I.N.Goncharov, O.E.Omelyanovsky**

$R(T)$ ,  $\chi(T)$  and  $M(B)$  of samples of  $\text{YBa}_2\text{Cu}_3\text{O}_{7-x}$  ceramics were measured after irradiation with relativistic nuclei of fluorine and carbon (maximum fluence of  $6.3 \cdot 10^{12}$  nucl./ $\text{cm}^2$ ). The curves of  $R(T)$  and  $\chi(T)$  for irradiated samples do not differ from those for an initial sample. At the same time the difference between  $M_-$  and  $M_+$  and, consequently, the value of intragrain current density  $j_c$  pass via maximum located at the fluences less than  $2 \cdot 10^{12}$  nucl./ $\text{cm}^2$  (for the case when magnetic field is parallel to tracks).

The investigation has been performed at the Laboratory of High Energies, JINR.

Исследовать влияние облучения на свойства ВТСП важно как с точки зрения получения существенной, порой уникальной, информации о физике этого явления, так и с точки зрения использования этого нового класса сверхпроводящих материалов в радиационных полях (ускорители, термоядерные реакторы, космические аппараты и т.д.).

\*Физический институт им. П.Н.Лебедева АН СССР, Москва

В различных лабораториях мира уже выполнены первые исследования свойств ВТСП, облученных нейтронами<sup>1-4</sup> и ионами<sup>5-9</sup>. Прежде всего, обнаружено, что они гораздо более чувствительны к облучению, чем соединения типа A15 ( $\text{Nb}_3\text{Sn}$ ,  $\text{Nb}_3\text{Ge}$ ,  $\text{V}_3\text{Si}$ ) — для снижения критической температуры до определенной доли от исходной требуются в 10-20 раз меньшие величины флюенсов частиц. При этом утверждается, что облучение сильнее влияет на межзеренную связь, чем на внутреннюю область зерна ВТСП-керамики. В ряде работ<sup>2-6, 8, 9</sup> получены очень интересные и неоднозначные результаты о влиянии облучения нейтронами и ионами на критическую плотность тока ВТСП. Транспортный критический ток, измеренный либо пропусканием через образец тока от внешнего источника, либо путем наведения его в кольце, неизменно снижался в результате облучения. Что же касается внутризеренной плотности тока  $j_c$  в керамике или  $j_c$  в монокристалле, вычисленных из измерений магнитного момента, то они заметно возрастили при флюенсах нейтронов, соответствующих началу падения  $T_c$ , свидетельствуя о повышении пиннинга вихревых нитей (по-видимому, на образовавшихся в результате облучения многочисленных микрообластях с ухудшенными сверхпроводящими параметрами).

В настоящей работе проведены измерения намагниченности образцов ВТСП-керамики до и после облучения релятивистскими ядрами с целью обнаружить его влияние на внутризеренную критическую плотность тока.

Образцы изготавливались по методу твердотельной диффузии<sup>10</sup> с многократным перетиранием, прессованием и отжигом их. Для окончательного отжига в печь были помещены одновременно несколько спрессованных дисков одинаковой массы. В окончательном виде образцы имели вид дисков диаметром 5 мм и толщиной 1,6 мм.

Облучение образцов проводилось при комнатных температурах на выведенном пучке синхрофазотрона ОИЯИ (падавшем перпендикулярно плоскости дисков) при энергии 3,65 ГэВ/нукл. Образец II.1 облучен ядрами  $^{19}_{9}\text{F}^{9+}$  с флюенсом  $0,002 \cdot 10^{12}$  яд./см<sup>2</sup>, а образцы II.2, II.3, II.4 и II.5 облучены ядрами углерода  $^{12}_{6}\text{C}^{6+}$  с флюенсами соответственно 3,4; 2,9; 2,0;  $6,3 \cdot 10^{12}$  яд./см<sup>2</sup>. Флюенсы определялись по изменению плотности цветного пятна пленочных радиохромных детекторов, которые были прокалиброваны гамма-излучением во ВНИИФТРИ, с использованием расчетных данных по ионизационным потерям

ядер углерода в пленке данного состава\*. Эпизодический дополнительный контроль за параметрами пучка осуществлялся путем измерений с ионизационными камерами (многопроволочными — для определения профиля пучка и с двумя большими электродами для определения полного потока ядер). Точность в определении соотношения флюенсов не хуже 10%, а точность в определении абсолютной величины не хуже 35%.

Для всех образцов проводились измерения кривых перехода по сопротивлению и по магнитной восприимчивости. Результаты представлены на рис. 1. Облучение не привело к изменению кривых перехода (в пределах 1%).

Намагниченность измерялась с помощью чувствительного вибрационного магнитометра<sup>/10/</sup> при температуре 4,2 К путем медленного увеличения и последующего уменьшения магнитного поля  $B \leq 8$  Тл. Эпизодически развертка магнитного поля останавливалась и определялось равновесное значение  $|M(B)|$ , которое было на 8-9% ниже, чем в случае ненулевой развертки. Кривые

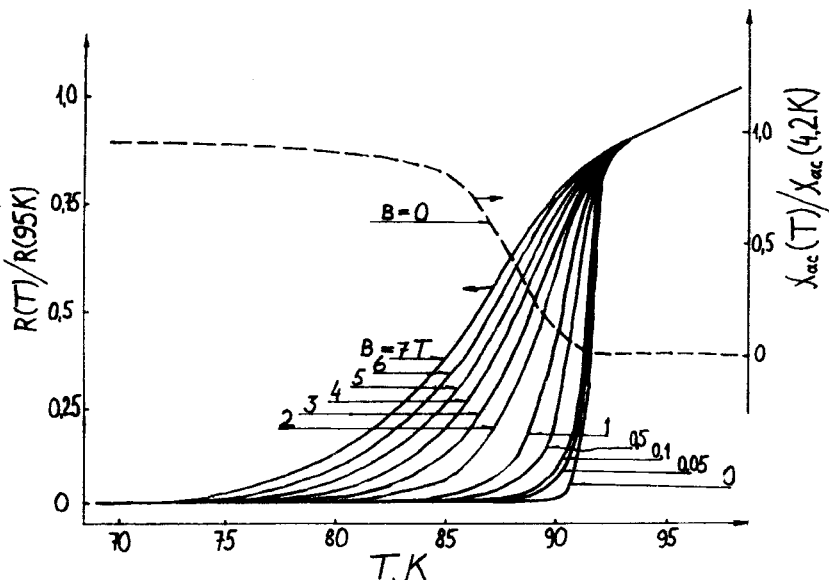


Рис. 1. Температурные кривые перехода необлученного образца из нормального в сверхпроводящее состояние по сопротивлению и восприимчивости.

\* Авторы выражают признательность В.В.Генераловой, А.А.Громову и М.Н.Гурскому за помощь при калибровке детекторов, а также А.П.Череватенко, выполнившему расчеты ионизационных потерь.

$-M(B)$  имели характерный вид с максимумом и очень малым изменением при  $B > 4$  Тл (см., например, <sup>10</sup>). Критическая плотность тока пропорциональна  $\Delta M = M_- - M_+$ , где  $M_+$  и  $M_-$  — равновесные значения магнитных моментов образца соответственно при вводе и выводе поля. Так как геометрические размеры зерен в образцах (а также и самих образцов) не меняются при облучении, то изменение  $\Delta M$  отражает изменение внутризеренной критической плотности тока <sup>11</sup>. Величины  $\Delta M^{1/m^1}$ , нормированные к этим же величинам для необлученного образца \*, представлены на рис. 2 (здесь  $m^1$  — масса соответствующего образца). Измерения проводились в условиях, когда поле параллельно трекам (т.е. параллельно оси дисков) и перпендикулярно им. Соответствующие поля обозначим как  $B_{||}$  и  $B_{\perp}$ .

Анализ результатов показывает, что в случае  $B_{||}$ , т.е. когда пиннинг на треках наиболее эффективен, кривые намагниченности, а следовательно, и внутризеренной плотности тока  $j_c$  в зависимости от флюенса проходят через максимум, лежащий, очевидно,

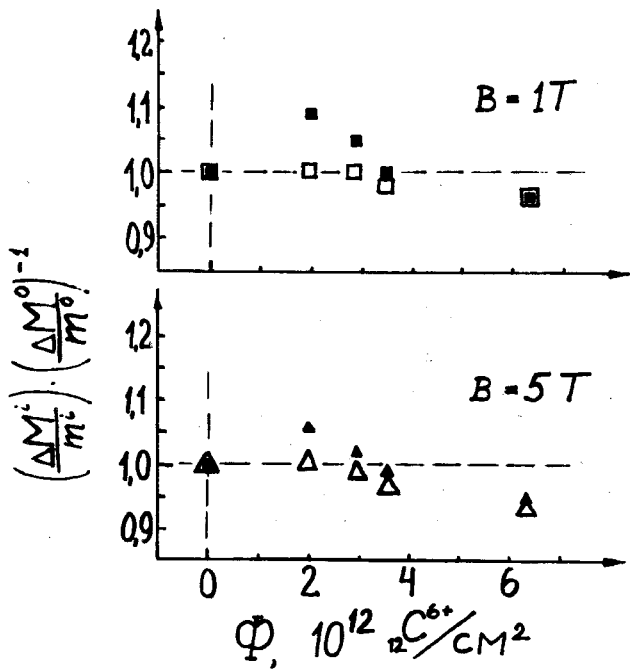


Рис.2. Зависимость внутризеренной критической плотности тока от флюенса для случаев, когда магнитное поле параллельно трекам (сплошные значки) и перпендикулярно им.

\* Заметим, что после облучения ядрами фтора с малым флюенсом ( $2 \cdot 10^9 \text{ яд./cm}^2$ ) указанное отношение для образца II.1 и исходного образца II.0 не отличалось от единицы, свидетельствуя о надежности выбранной нормировки.

при флюенсах, меньших  $2 \cdot 10^{12}$  яд./см<sup>2</sup> (когда средние расстояния между треками оказываются не менее 70 Å). И хотя величина максимума неизвестна, знаменательным является то, что впервые для образцов ВТСП наблюден пиннинг на отдельных треках. Это подтверждается и тем, что в случае  $B_{\perp}$  никакого роста  $j_c$  не обнаружено, как и следовало ожидать. Естественно предположить, что облучение частицами с более высокими линейными передачами энергии (например, более тяжелыми или менее быстрыми ионами) при тех же флюенсах приведет к более заметному увеличению  $j_c$  таких образцов.

Что касается уменьшения  $j_c$  при флюенсах, превышающих  $3 \cdot 10^{12}$  яд./см<sup>2</sup> (как для  $B_{||}$ , так и для  $B_{\perp}$ ), то, видимо, здесь начинают превалировать процессы, приводящие в конце концов к полному исчезновению высокотемпературной сверхпроводимости вследствие массированного облучения таких материалов<sup>/1-8/</sup>.

#### Л и т е р а т у р а

1. Воронин В.И. и др. — Письма в ЖЭТФ, 1987, т.46 (приложение), с.165.
2. Sekula S.T. et al. — Proc. of LT 18, 1987, v.2, p.1185, Kyoto.
3. Küpfer H. et al. — Z. Phys. B — Condensed Matter, 1987, v.69, p.167.
4. Umézawa A. et al. — Phys. Rev., 1987, B36, No.13, p.7151.
5. Geerk J. et al. — Z. Phys. B — Condensed Matter, 1987, v.67, p.507.
6. Egner B. et al. — Proc. of LT 18, 1987, v.3, p.568.
7. Антоненко С.В. и др. — Письма в ЖЭТФ, 1987, т.46, в.9, с.362.
8. Астапов А.А. и др. Сообщение ОИЯИ 14-88-57, Дубна, 1988.
9. Антоненко С.В. и др. — Письма в ЖЭТФ, 1988, т.47, в.5, с.260.
10. Карасик В.Р. и др. Препринт ФИАН № 271, М., 1987.
11. Карасик В.Р. и др. Препринт ФИАН № 296, М., 1987.

Рукопись поступила 22 июля 1988 года.